



中山大學
SUN YAT-SEN UNIVERSITY

Job Scheduling and Resource Allocation

汇报人：肖霖畅

目录

CONTENTS

01

背景介绍

02

技术分类

03

相关工作介绍

04

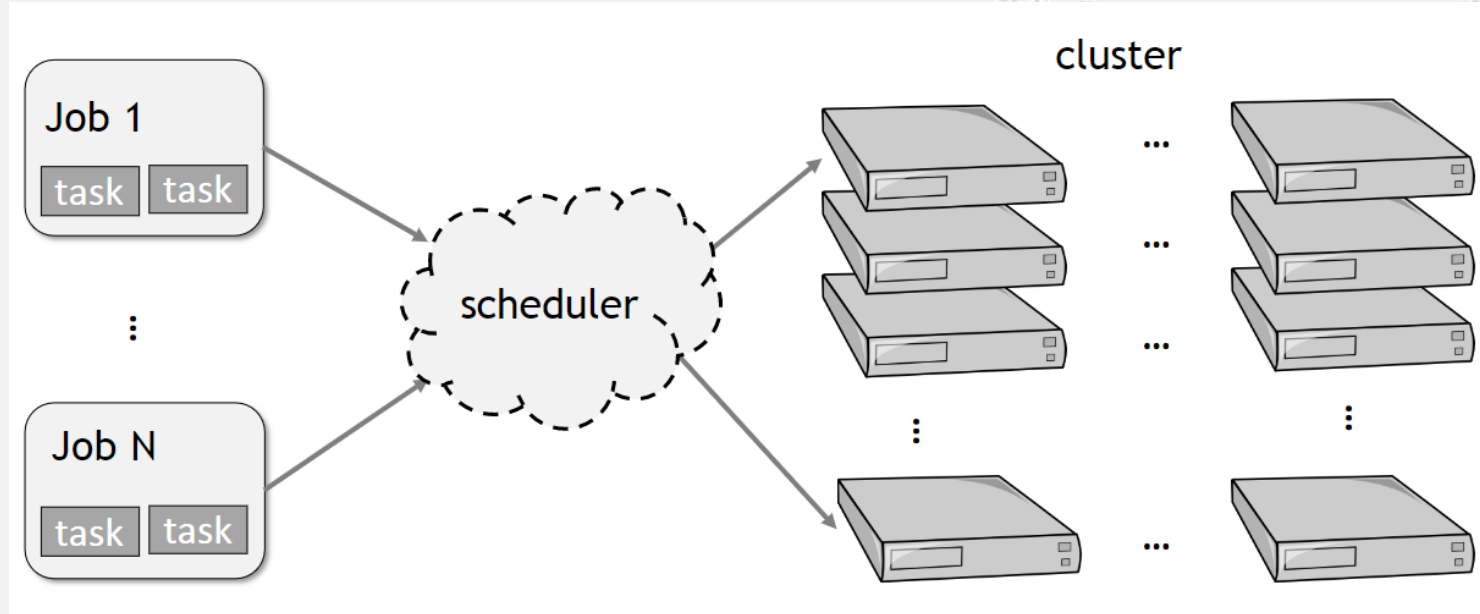
未来方向调研

05

附录



任务调度和资源分配



- 在目前的实际环境中，任务调度和资源分配很多时候耦合在一起。
- 一般来说，一个任务调度和资源分配问题可以表示为：**一系列任务**需要分配到一些机器上，**满足某些约束**，并且**优化一个特定的目标函数**。



广泛的问题建模方式

- 一个CPU需要处理不断到达的程序。如何安排程序处理的顺序，最小化程序的平均处理时间（任务到达至完成的时间）。
- （一系列建模方式）
- 考虑一个生产不同类型产品的工厂。不同产品需要不同机器上的不同处理时间，需要首先在机器1处理，然后是机器2，最后机器3，不同产品在不同机器上处理时间不同。工厂会收到订单，每个订单有额定的完成时间，必须在此之前完成。如何安排机器的生产顺序，使得工厂完成尽可能多的订单。

基本建模方式

任务和机器环境

任务和资源环境

优化目标

约束条件



基本建模方式

• 任务和机器环境

- 1: 单机问题
- P: 等价并行环境 (每个资源完全相等)
- Q: 均匀相关环境 (每台机器速度不同, 不同任务在同个机器执行速度**一致**)
- R: 不相关环境 (每台机器速度不同, 不同任务在同个机器执行速度**不一致**)
- O: 开放工厂 (任务可细分为多个**执行时间相同的操作**, 操作可以**按任意顺序完成**)
- J: 任务工厂 (任务可细分为多个**执行时间相同的操作**, 操作必须**在前驱操作完成后执行**)
- F: 流水线工厂 (任务可细分为多个**执行时间不同的操作**, 操作必须**在前驱操作完成后执行**)

• 优化目标

- 平均完成时间 (JCT)
- 所有任务完成跨度 (Makespan)
- (执行性能、服务价格等等.....)

• 约束条件

- 支持抢占? 任务/操作在线到达? 任务存在DDL? 任务中操作的组织形式 (DAG/Tree/Chain) ?
- 任务存在资源需求? 机器存在资源供给限额? 带宽限额?
- 机器是否分级 (云/边缘/移动端) ? 任务是否有特殊的限制 (AI/响应式) ?



基本建模方式

Machine environment α

type : 1 P Q R O F J

Constraints β

number of jobs : \emptyset $n = 2$ $n = 3$ $n = k$

precedence relation : \emptyset prec chains tree intree outtree opposing forest sp-graph bounded height level order interval order quasi-interval order over-interval order Am-order DC-graph 2-dim partial order
k-dim partial order

time lags : \emptyset $l = 1$ l $l \leq 0$ $l > 0$ l_{ij} $l_{ij} \leq 0$ $l_{ij} > 0$

release time : \emptyset r_j online- r_j

preemption : \emptyset pmtn

due date : \emptyset $d_j = d$

processing times : \emptyset $p_j = 1$ $p_j = p$

batching : \emptyset s-batch batch(∞) batch(b)

Objective function γ

Objective function : C_{\max} C_{\min} $\sum C_j$ $\sum w_j C_j$ L_{\max} $\sum U_j$ $\sum w_j U_j$ $\sum T_j$ $\sum w_j T_j$



基本建模方式

• 共有的挑战

- 随着场景定义的复杂，最优化问题变成NP-hard问题（在有限的时间内无法在可行解集中找到最优解）

• 任务调度问题中NP-hard问题举例

- 单机 + 任务存在发布时间 + 平均作业完成时间

$$1 \parallel r_j \parallel \sum C_j$$

- 单机 + （任务存在发布时间 + 任务允许抢占） + 平均加权作业完成时间

$$1 \parallel r_j, pmtm \parallel \sum w_j C_j$$

- 多机等价并行 + 最终任务完成时间

$$P_m \parallel C_{max}$$

• 解决方法

- 非NP-hard问题：确定方法求解【e.g. 线性规划求解】

- **NP-hard问题**：近似方法求解【e.g. 基于经验的启发式算法、近似算法、强化学习等】



针对NP-hard资源分配场景的解决算法

基于经验的启发式算法

Optimus (EuroSys'18)

Gandiva (OSDI'18)

Tiresias (NSDI'19)

基于强化学习的算法

M. T. Islam et al. (TPDS'22)

Decima (SIGCOMM'19)

Bao Y et al. (INFOCOM'19)

Z Liu et al. (ICPP'20)

近似算法

T Bahreini et al. (TPDS'22)

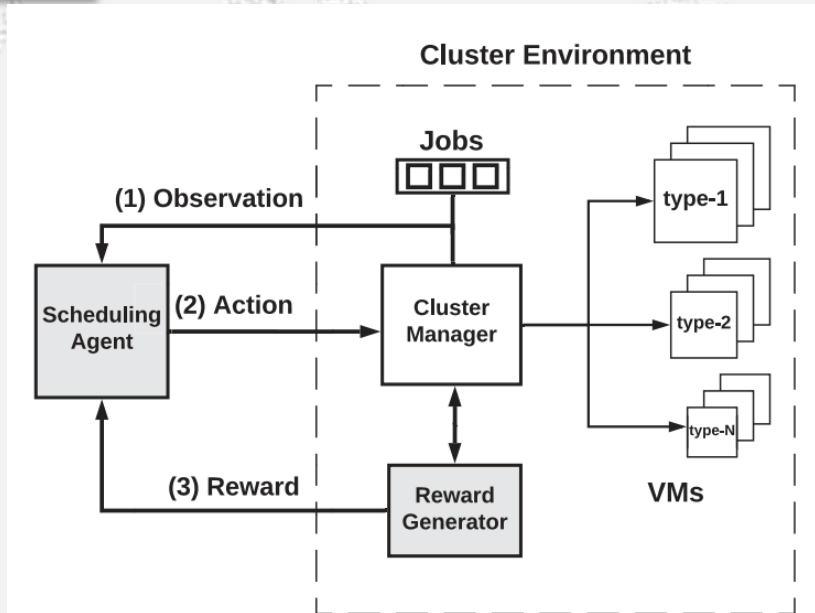
S Zhang et al. (TON'20)

LOCUS (TPDS'21)

Performance and Cost-Efficient Spark Job Scheduling Based on Deep Reinforcement Learning in Cloud Computing Environments[1]

场景定义

- 任务和机器环境
 - 不相关环境（机器资源异构）：每台VM速度不同，不同任务在同一个VM执行速度不一致
 - 每个Job包含多个异质的Executors
- 优化目标
 - VM资源的价格和平均Job完成时间**加权求和
- 约束条件
 - Job在线随时到达，不允许抢占
 - Executor的资源需求与VM资源供给存在约束，Executor不能切割
- 决策场景
 - Job到来时存放在等待池中
 - 每个时间片依次从等待池中决策任务的Executor放置的VM位置



$$\sum_{k \in \omega} (e_{cpu}^k \times x_{ki}) \leq vm_{cpu}^i \quad \forall i \in \delta$$

$$\sum_{k \in \omega} (e_{mem}^k \times x_{ki}) \leq vm_{mem}^i \quad \forall i \in \delta,$$



Performance and Cost-Efficient Spark Job Scheduling Based on Deep Reinforcement Learning in Cloud Computing Environments[1]

问题定义

$$\min_{x_{ki}} = (\beta \times Cost_{total} + (1 - \beta) \times Avg_T)$$

$$s.t. \quad Cost_{total} = \sum_{i \in \delta} (vm_{price}^i \times vm_T^i)$$

$$Avg_T = (\sum_{j \in \psi} job_T^j) / M$$

$$x_{ki} \in \{0, 1\}$$

$$\sum_{i \in \delta} x_{ki} = 1$$

$$\sum_{k \in \omega} (e_{cpu}^k \times x_{ki}) \leq vm_{cpu}^i$$

$$\sum_{k \in \omega} (e_{mem}^k \times x_{ki}) \leq vm_{mem}^i$$

挑战

- 混合整数线性规划问题 (MILP)
 - NP-hard Problem
- 场景在线动态变换
 - 工作负载动态到来的，任务的**到达时间**、**执行时间**、**计算需求**都是无法提前获知且变化巨大的
 - 传统简单的方法缺少对动态场景的考虑

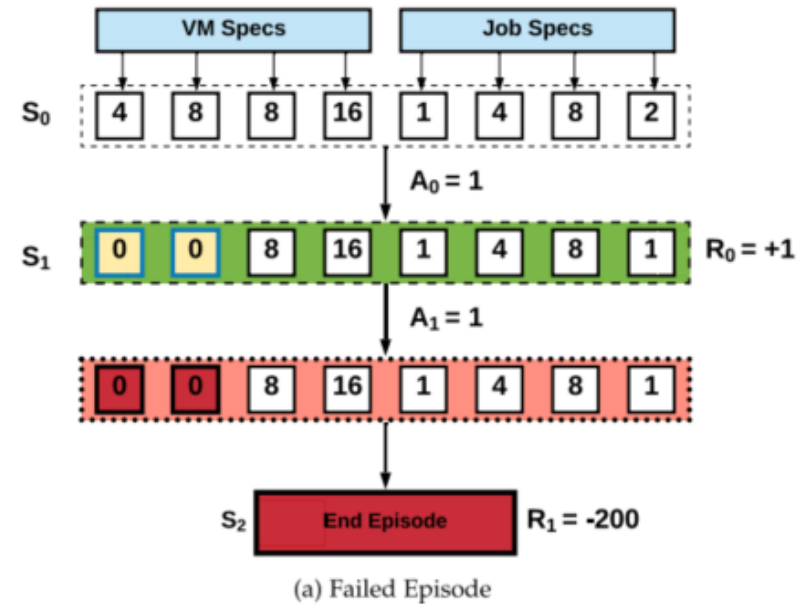
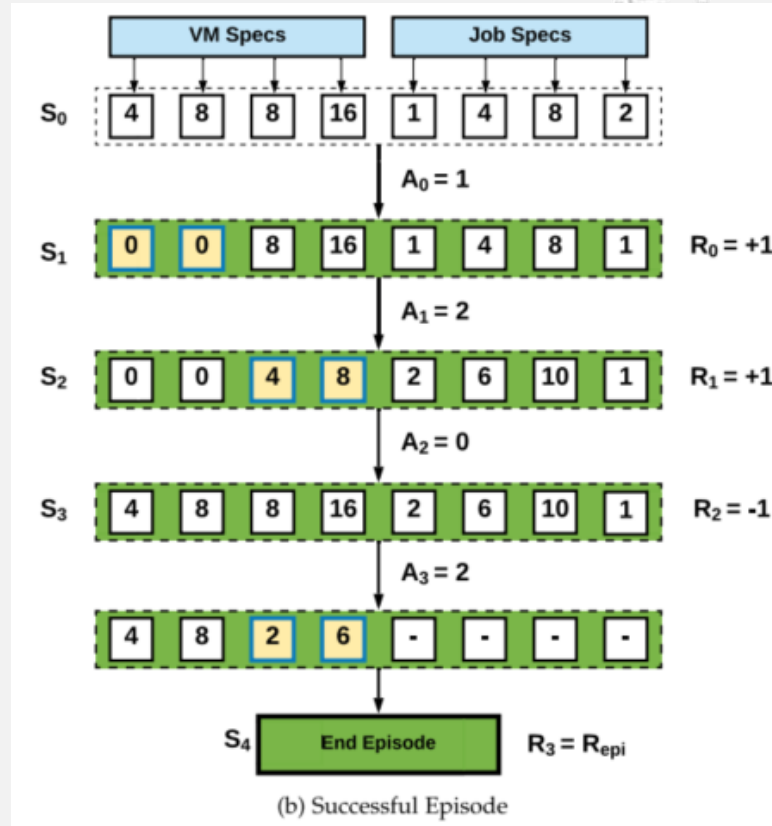


基于强化的方法为解决此类复杂问题提供途径

Performance and Cost-Efficient Spark Job Scheduling Based on Deep Reinforcement Learning in Cloud Computing Environments

MDP设计

- State
 - VM状态信息 + Job状态信息
- Action
 - 调度VM序号 + 不调度信号
- Reward
 - Episode Reward (基于此 Episode的优化目标值与记录中最差的优化目标值)
 - Immediate Reward



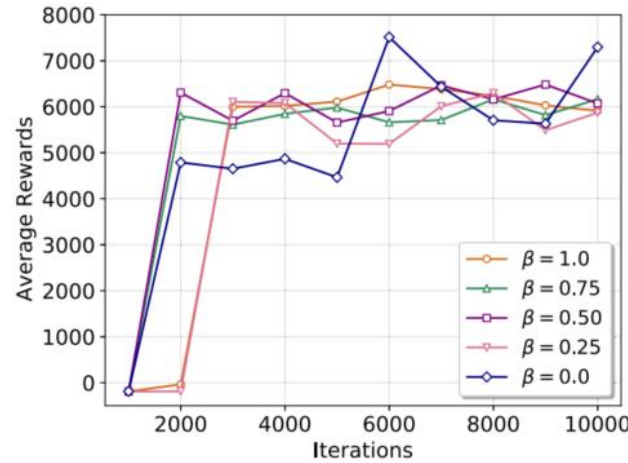


Performance and Cost-Efficient Spark Job Scheduling Based on Deep Reinforcement Learning in Cloud Computing Environments

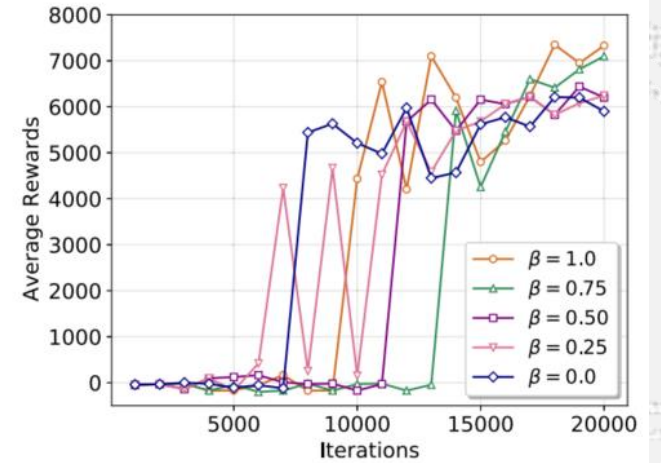
智能体实现与实验

- 实验数据来源
 - Workload:** Facebook Hadoop Workload Trace[1]
 - Resources Price:** AWS EC2
- 强化学习智能体算法实现
 - DQN
 - REINFORCE
- $\beta \rightarrow 0$: 优化平均完成时间, $\beta \rightarrow 1$: 优化VM租用成本
- Burst: Workload集中在一起到来

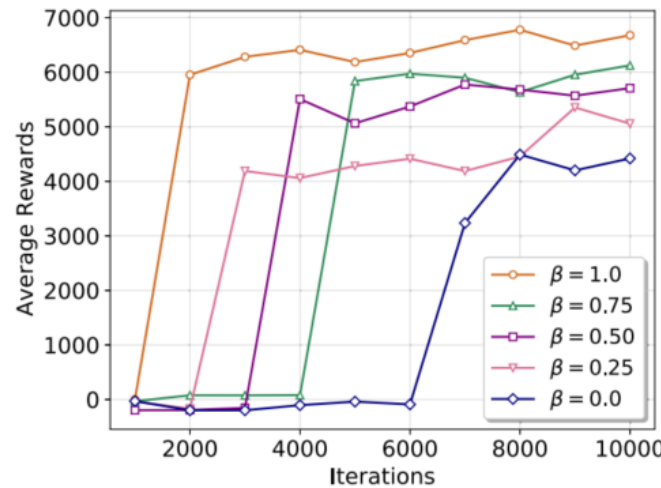
[1]<https://github.com/SWIMProjectUCB/SWI>
M/wiki/Workloads-repository



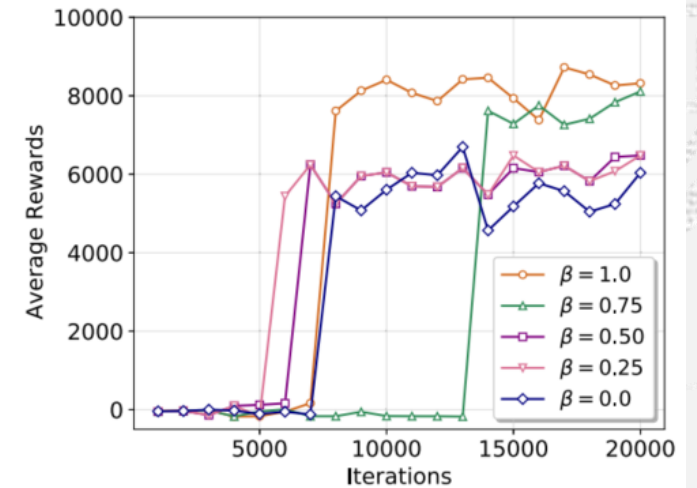
(a) Normal Job Arrival



(b) Burst Job Arrival



(a) Normal Job Arrival



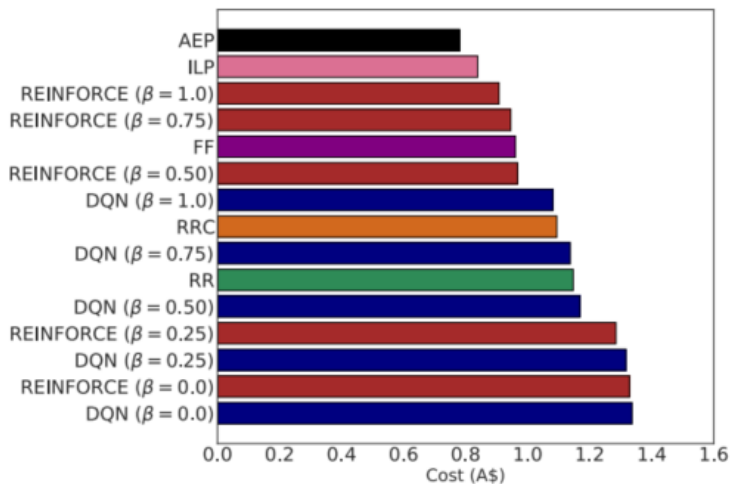
(b) Burst Job Arrival



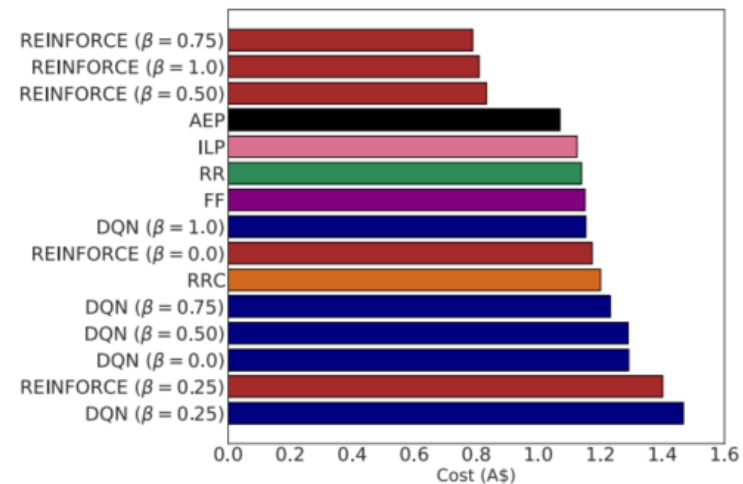
Performance and Cost-Efficient Spark Job Scheduling Based on Deep Reinforcement Learning in Cloud Computing Environments

智能体实现与实验

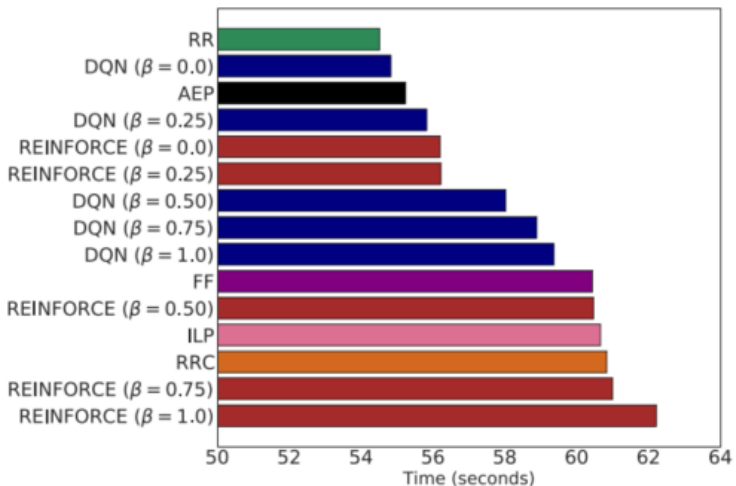
- 收敛性
 - 上面是DQN
 - 下面是REINFORCE
- VM总Cost测试结果
- 任务平均完成时间测试结果
- 对比算法
 - RR: Round Robin
 - RRC: Round Robin Consolidate
 - FF: First Fit
 - ILP: Integer Linear Programming
 - AEP: Adaptive Executor Placement



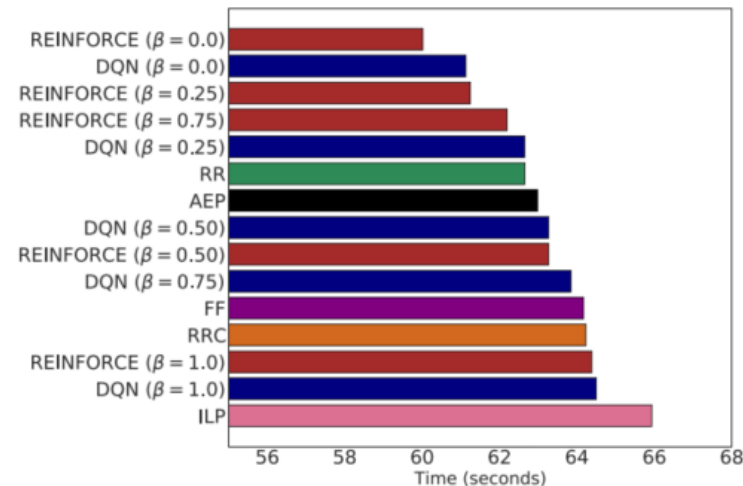
(a) Normal Job Arrival



(b) Burst Job Arrival



(a) Normal Job Arrival



(b) Burst Job Arrival



Performance and Cost-Efficient Spark Job Scheduling Based on Deep Reinforcement Learning in Cloud Computing Environments

优势

- 经过多轮训练效果得到明显提升
- 对动态场景适配性好
 - Burst Job Arrival
- 不需要很多先验知识 (e.g. 任务执行时间), 状态和动作设计比较简单

不足

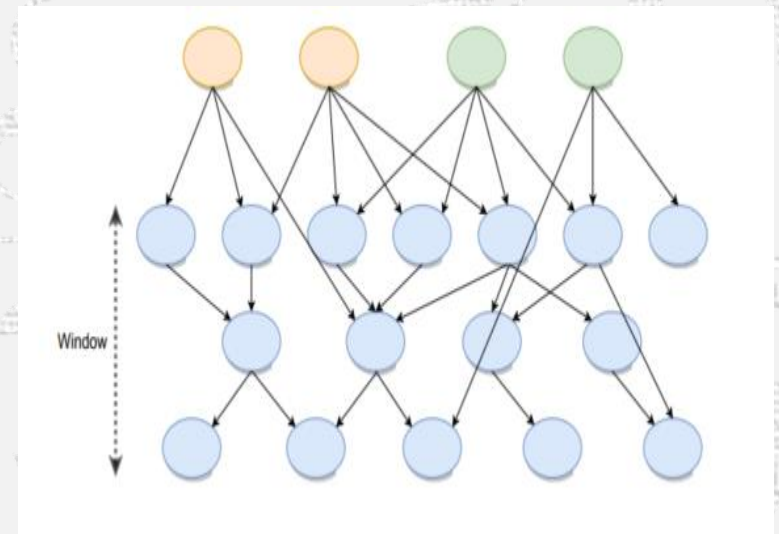
- 训练轮数和训练时间太长, 不适合大规模场景
- 状态空间和动作空间的设计不适合大规模的集群 (决策速度会变慢)



READYS: A Reinforcement Learning Based Strategy for Heterogeneous Dynamic Scheduling

场景定义

- 任务和机器环境
 - 不相关环境（机器资源异构）：包括两种计算资源（CPU+GPU），每种计算资源速度不同，同个任务在不同计算资源执行速度不一致
- 优化目标
 - **每个Job所有Task的最终完成时间**
- 约束条件
 - 每个Job是由多个子Task构成，Task间依赖可用**DAG图**表示
 - 每个Job中子Task在线随时到达，且非同时到达
- 决策场景
 - 子Task到来时进入等待状态
 - 当计算资源存在空闲时，决策某个等待状态的子Task于其中执行



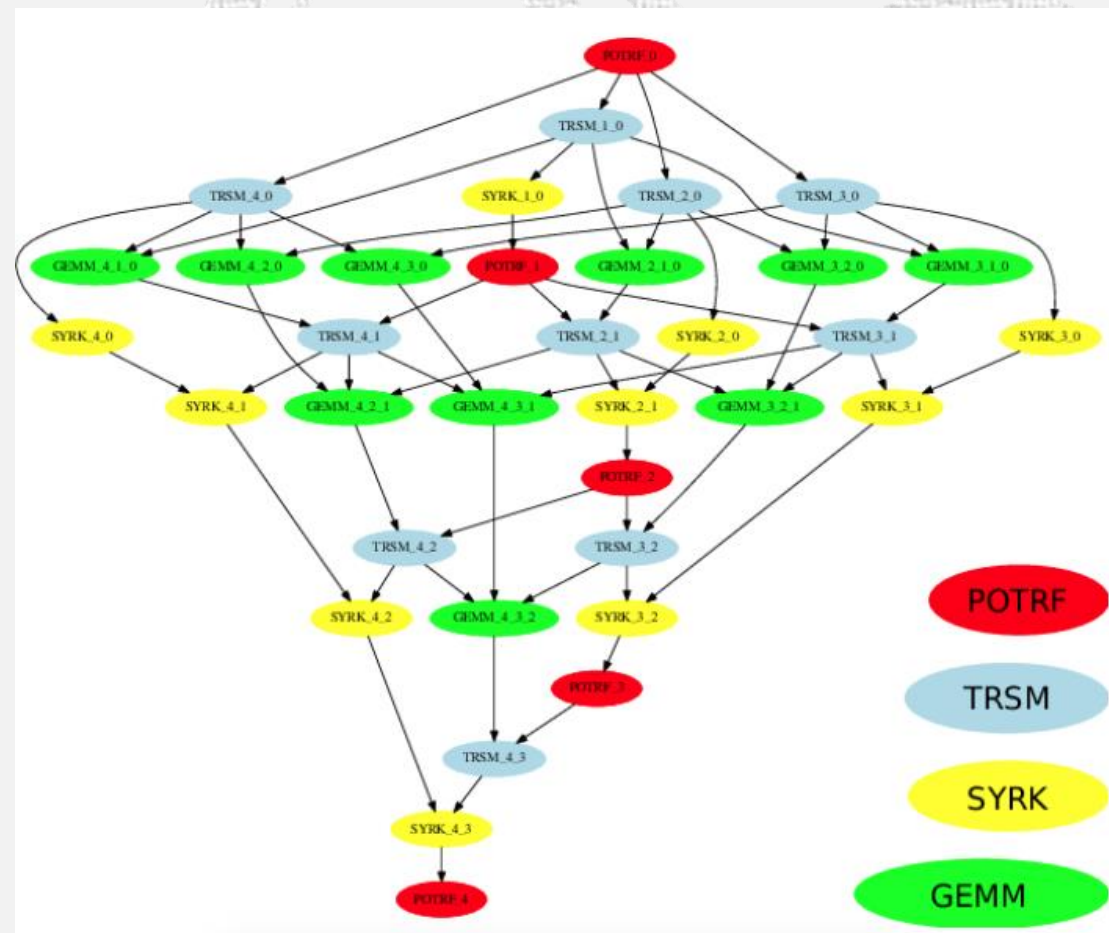
READYS: A Reinforcement Learning Based Strategy for Heterogeneous Dynamic Scheduling

挑战

- Task是动态到来的，任务的**到达时间**、**执行时间**、**计算需求**都是无法提前获知且变化巨大的
- DAG图层面
 - 非完全信息：每个时刻只能获得DAG图的一部分Task信息
 - 一个Job的DAG完整图比较复杂，包含大量任务、复杂依赖
 - 决策时需要处理大量的DAG图原始信息，可能影响决策速度



利用图卷积网络学习DAG特征
利用强化学习优化在线决策





READYS: A Reinforcement Learning Based Strategy for Heterogeneous Dynamic Scheduling

MDP设计

- State
 - 图卷积网络 (GCN) 编码

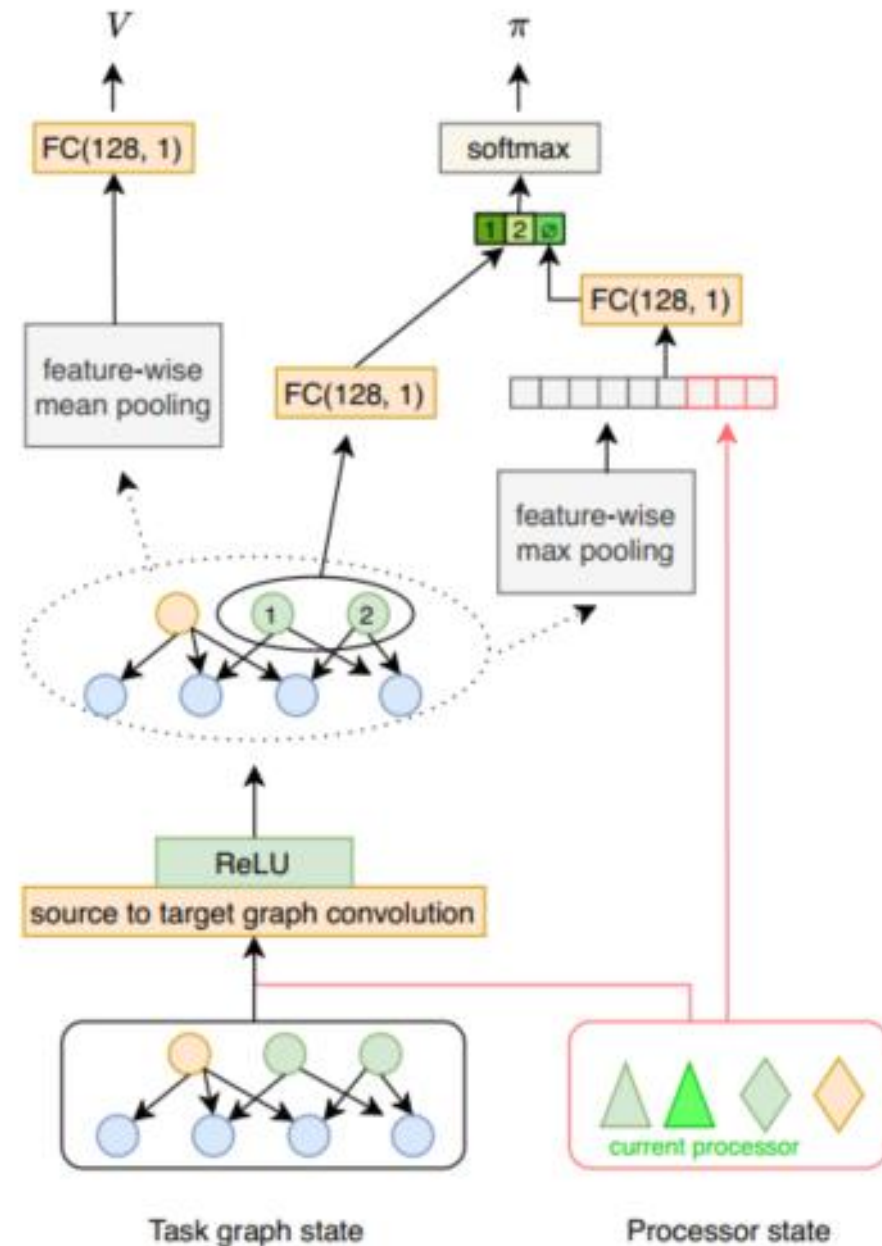
$$\hat{X}_i = [|S(i)|, |P(i)|, type(i), ready(i), F(i)],$$

$$\bar{F}(i) = \left(type(i) + \sum_{c \in S(i)} \frac{\bar{F}(c)}{|P(c)|} \right) \text{ and } F(i) = \frac{\bar{F}(i)}{\bar{F}(0)}$$

$$H^{(l+1)} = \varphi \left(\tilde{D}^{-\frac{1}{2}} \tilde{A} \tilde{D}^{-\frac{1}{2}} H^{(l)} W^{(l)} \right). H^{(0)} = [\hat{X}_1, \hat{X}_2, \dots, \hat{X}_n].$$

- Action
 - 可调度Task序号 + 不调度
- Reward
 - 完成整个DAG后才给出的Episode Reward
 - 启发式算法HEFT作为基准

$$R_a(s, s') = \begin{cases} 0 & \text{if } s' \text{ is non terminal,} \\ R(\text{makespan}) & \text{otherwise.} \end{cases} \quad R(\text{makespan}) = \frac{\text{makespan}(\text{HEFT}) - \text{makespan}}{\text{makespan}(\text{HEFT})}$$





READYs: A Reinforcement Learning Based Strategy for Heterogeneous Dynamic Scheduling

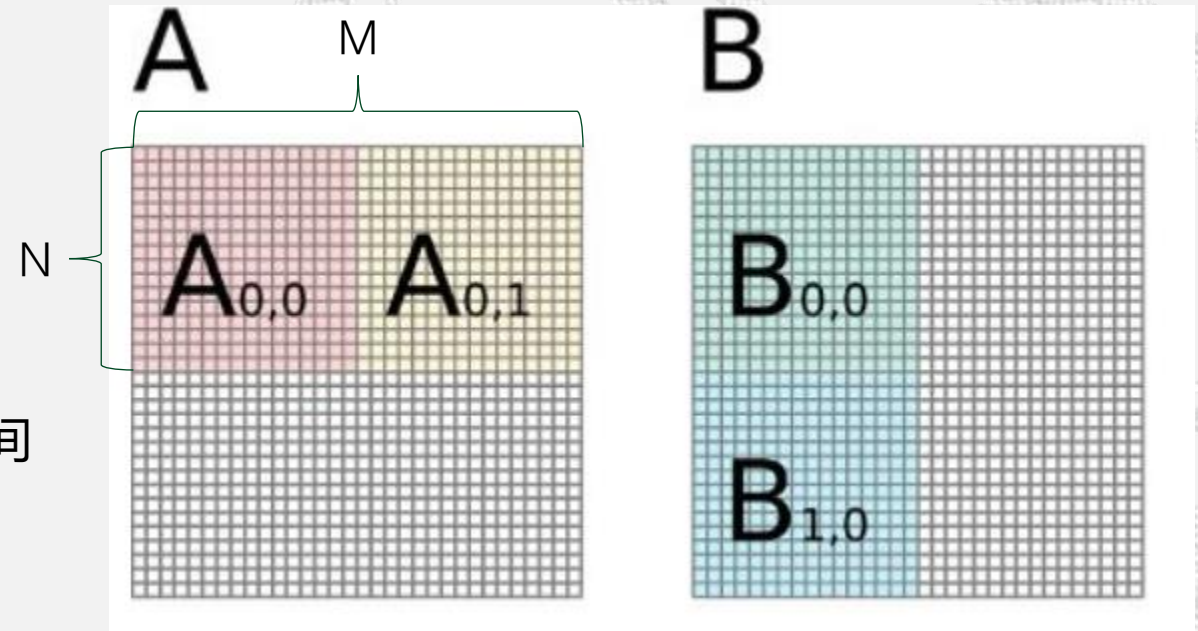
智能体实现与实验

- 强化学习智能体实现
 - Actor-Critic (A2C)
- 实验数据来源
 - 三种矩阵分解Job: Cholesky/QR/LU
 - 随机生成每个Task i 在处理器 p 上的实际执行时间

$$d(i, p) = \max \left[0, \mathcal{N} \left(E(i, p), \sigma E(i, p) \right) \right],$$

- 对比算法
 - (静态调度)** HEFT: 关键路径节点Task优先调度, 需要提前知道全图信息。
 - (动态调度)** MCT (Minimum Completion Time): 节点Task执行时间短优先, 需要提前知道每个Task的执行时间。
- 测试指标
 - 不同Tile数量和实际执行时间条件不同随机程度下Makespan的提升率
 - Transfer Learning机制: 在小规模DAG训练, 迁移到大规模DAG后测试Makespan的提升率

Tile数量为 $T^2 = (M / N)^2$
此矩阵分解Job的DAG图包含Task节点数 $n = O(T^3)$





READYS: A Reinforcement Learning Based Strategy for Heterogeneous Dynamic Scheduling

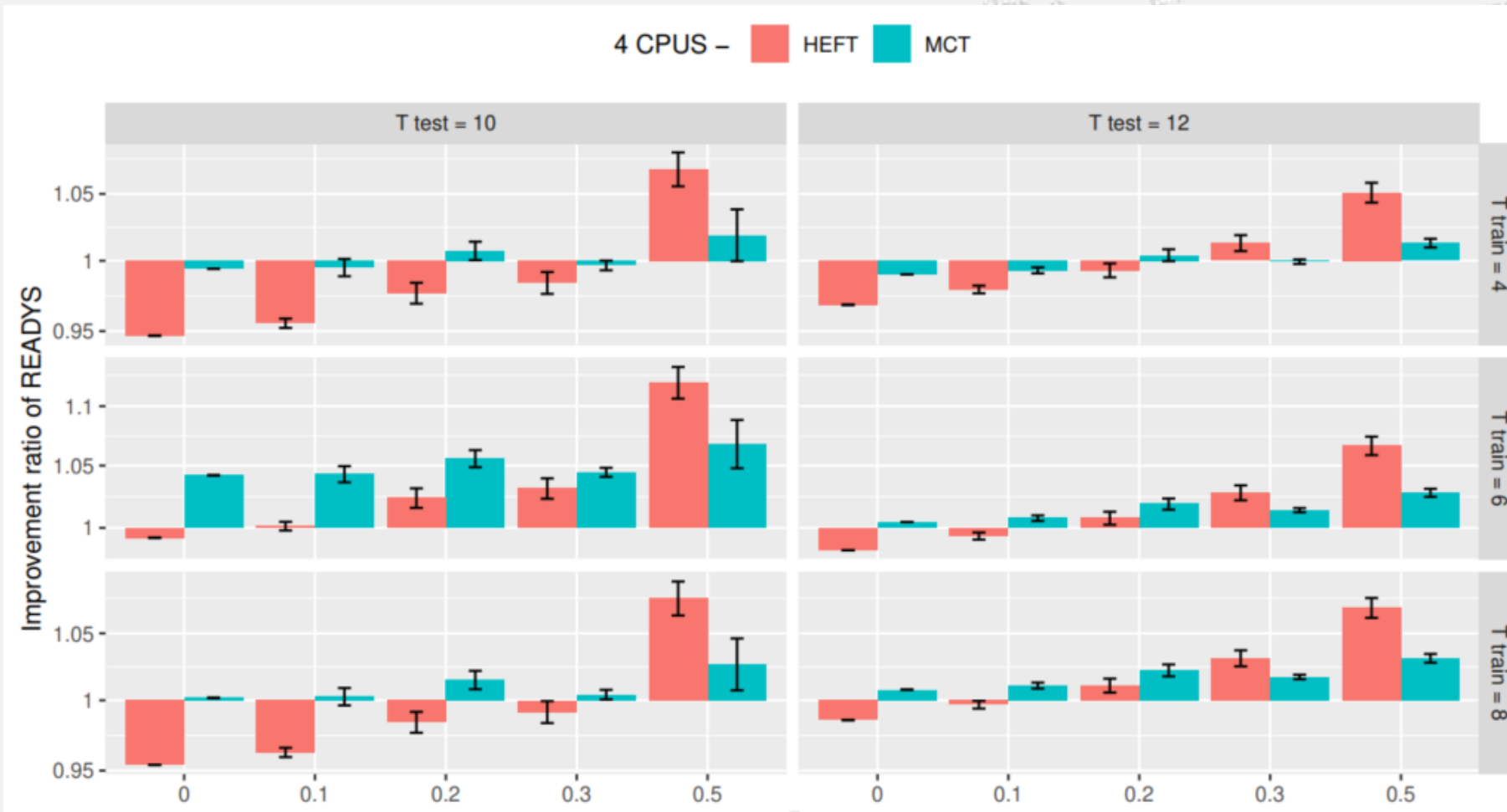
智能体实现与实验 • 测试集上 Makespan性能提升结果





READYS: A Reinforcement Learning Based Strategy for Heterogeneous Dynamic Scheduling

智能体实现与实验 • Transfer learning机制 Makespan性能提升结果





READYs: A Reinforcement Learning Based Strategy for Heterogeneous Dynamic Scheduling

优势

- 对动态环境适配性好
- 相比传统算法不需要很多先验知识 (e.g. DAG全图信息、Task执行时间)
- 通过在小规模DAG图上训练并到大规模DAG图上测试的结果表明模型的鲁棒性强且可以减少训练消耗
- (对我们的研究而言) 实验模拟场景类似CUDA对矩阵处理的优化机制, 具有探索研究价值

不足

- 训练轮数和训练时间较长, 不适合大规模场景
- Reward设计上存在缺陷:
 - 大量四元组的瞬时回报都是0, 四元组训练利用率低
 - 缺少对错误决策场景的负面Reward和提前结束机制, 部分episode训练时间会变得超级长

$$R_a(s, s') = \begin{cases} 0 & \text{if } s' \text{ is non terminal,} \\ R(\text{makespan}) & \text{otherwise.} \end{cases}$$



其他基于强化学习的调度算法

- (TPDS' 21) DL2: A Deep Learning-Driven Scheduler for Deep Learning
 - 场景：针对PS-worker架构下的分布式深度学习任务集群进行**弹性资源伸缩**
 - 方法：基于已有工作轨迹进行离线监督学习，然后将神经网络插入强化学习进行微调，用于在线决定任务资源分配。
- (CoNEXT '20) Job Scheduling for Large-Scale Machine Learning Clusters
 - 场景：针对PS-worker架构下的以DAG图为构建方式的分布式机器学习任务进行调度
 - 方法：先设计了一个启发式调度算法，系统初始阶段使用该启发式调度算法，并基于这些工作轨迹进行**离线有监督学习**，模型达到一定优化程度后，使用RL模型进行**在线决策**。
 - 特点：少见地实现了很多知名Baseline进行对比实验

强化学习共同特点：训练成本高



近似算法

- **NP-hard问题**
 - 无法找到多项式时间普适算法
 - 牺牲算法的精确度，以在可计算时间内找到一个近似解。
- **近似算法满足条件**
 - 在多项式时间内完成
 - 具有普适性（能解决这类问题的任何实例）
 - 有一个确切的近似程度



简单场景下使用近似算法例子

场景定义 (NP-hard问题)

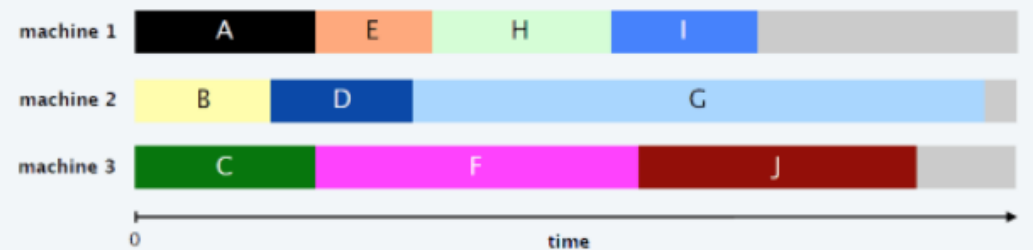
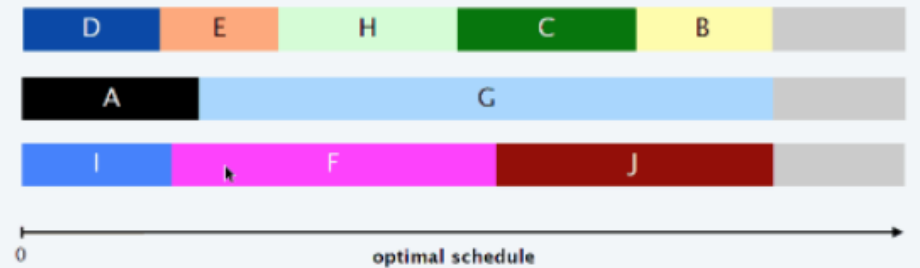
- 任务与机器环境: M台机器
- 优化目标: 所有作业的最终完成时间
- 约束条件:

算法

- List Scheduling: 贪心策略, 它的核心思想是将各个工作依次安排到累计工作时长最短的机器中。

$P || C_{max}$

List scheduling demo





简单场景下使用近似算法例子

- 算法
 - List Scheduling: 贪心策略, 它的核心思想是将各个工作依次安排到累计工作时长最短的机器中。
- 近似比证明

- 分析两个 C_{max} 的下界

- $C_{max}^* \geq \sum_{j=1}^n p_j / m$: 最优调度策略得到的完成时间至少是每个机器的平均负载

- $C_{max}^* \geq \max_j p_j$: 最终完成时间至少是任何一个任务的完成时间

- 证明2-近似: 假设j是最后一个完成的任务, 则j的完成时间就是最终任务完成时间。假设j的开始时间为 s_j , 则 $C_{max} = s_j + p_j$ 。在 s_j 之前所有机器应该是繁忙的, 否则会更快开始。所

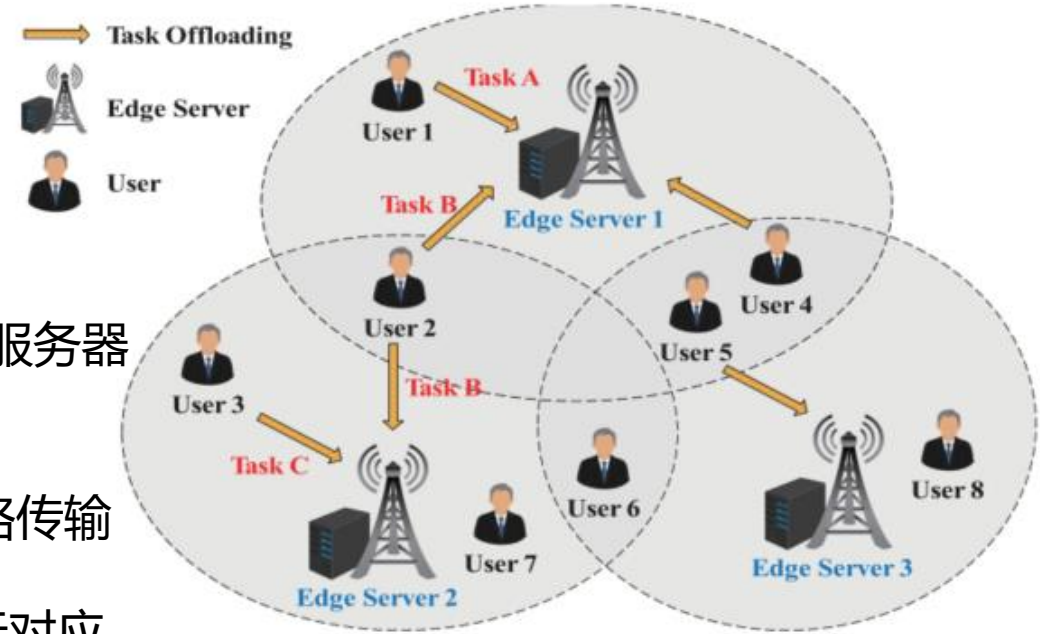
有机器都繁忙的时间最多是 $\sum_{j=1}^n \frac{p_j}{m}$, 因此: $C_{max}^{LS} \leq s_j + p_j \leq \sum_{j=1}^n \frac{p_j}{m} + p_j \leq 2C_{max}^*$



LOCUS: User-Perceived Delay-Aware Service Placement and User Allocation in MEC Environment

论文的场景定义

- 任务
 - **空间层面**: 只有在服务范围的用户任务才可以被卸载到Edge服务器执行
 - **任务层面**: 所有的任务都要被卸载到边缘端, 任务可以分割
 - **资源异构**: 边缘服务器的速度不同、用户提交任务和数据网络传输带宽不同, 只有满足资源需求才能让任务掉调度到服务器上
 - **服务限制**: Edge服务器必须包含用户请求的Service才能执行对应用户卸载的Task
- 决策场景
 - **User Allocation**: 决策用户的Task n分配到哪些服务器m执行
 - **Service Placement**: 决策Service s是否放置到服务器m上



比较复杂

$$\mathcal{X} \triangleq \{x_{n,m} : n \in \mathcal{N}, m \in \mathcal{M}\}$$

$$\mathcal{Y} \triangleq \{y_{m,s} : m \in \mathcal{M}, s \in \mathcal{S}\}$$



LOCUS: User-Perceived Delay-Aware Service Placement and User Allocation in MEC Environment

场景定义

- 任务和机器环境
 - 均匀相关环境Q: 每个服务器具有不同的计算速度, 不同任务在同一个服务器上执行速度一致
- 约束条件
 - 决策变量约束:
 - 任务分配变量 x in $[0,1]$ 说明任务可以被切分到不同服务器上。 (12b)
 - 服务放置变量 y in $\{0,1\}$ (12c)
 - 卸载场景约束:
 - 整个任务必须完整地被卸载到临近的边缘服务器上 (12d)
 - 任务必须放置在具有survice的边缘服务器上 (12e)
 - 服务器容量约束
 - 任务分配到服务器的计算容量不能超过限制 (12f)
 - 用户感知时延约束
 - 任务分配到服务器的计算时延+传输时延必须小于用户的最低容忍延迟 (12g)

$$D_{n,m}^c \equiv x_{n,m} l_n / F_m, \quad D_{n,m}^t = \frac{x_{n,m} b_n}{w \log_2(1 + p_n h_{n,m} / \sigma^2)}$$

$$\text{s.t. } x_{n,m} \in [0, 1], \quad \forall n \in \mathcal{N}, \forall m \in \mathcal{M}, \quad (12b)$$

$$y_{m,s} \in \{0, 1\}, \quad \forall m \in \mathcal{M}, \forall s \in \mathcal{S}, \quad (12c)$$

$$\sum_{m \in \mathcal{M}_n} x_{n,m} = 1, \quad \forall n \in \mathcal{N}, \quad (12d)$$

$$x_{n,m} \leq y_{m,s}, \quad \forall n \in \mathcal{N}_s, \quad (12e)$$

$$\sum_{n \in \mathcal{N}_m} x_{n,m} l_n \leq L_m, \quad \forall m \in \mathcal{M}, \quad (12f)$$

$$D_{n,m}^c + D_{n,m}^t \leq d_n, \quad \forall n \in \mathcal{N}, \quad \forall m \in \mathcal{M}. \quad (12g)$$



LOCUS: User-Perceived Delay-Aware Service Placement and User Allocation in MEC Environment

优化目标：任务卸载总成本 (Total Cost of Task Offloading System)

- 服务放置成本 (Service Placement Cost)
 - Service放置到服务器上需要消耗边缘服务器上的存储空间，这是货币化的表示。
- 边缘服务器使用成本 (Edge Server Usage Cost)
 - 当处理负载转移到边缘服务器时，边缘服务器的计算资源被消耗带来成本这是货币化的表示。
- 能源消耗成本 (Energy Consumption Cost)
 - 在用户和边缘端的数据传输过程中，能源消耗成本需要被考虑。

$$\mathbb{P}_1 : \min_{x, y} C^p + C^u + C^e$$

$$C^p = \sum_{m \in \mathcal{M}} \sum_{s \in \mathcal{S}} y_{m,s} c_{m,s}^p$$

$$C^u = \sum_{m \in \mathcal{M}} \sum_{n \in \mathcal{N}_m} x_{n,m} l_n c_m^u,$$

$$C^e = \sum_{m \in \mathcal{M}} \sum_{n \in \mathcal{N}_m} x_{n,m} \frac{p_n b_n}{w \log_2(1 + p_n h_{n,m} / \sigma^2)} c^e$$



LOCUS: User-Perceived Delay-Aware Service Placement and User Allocation in MEC Environment

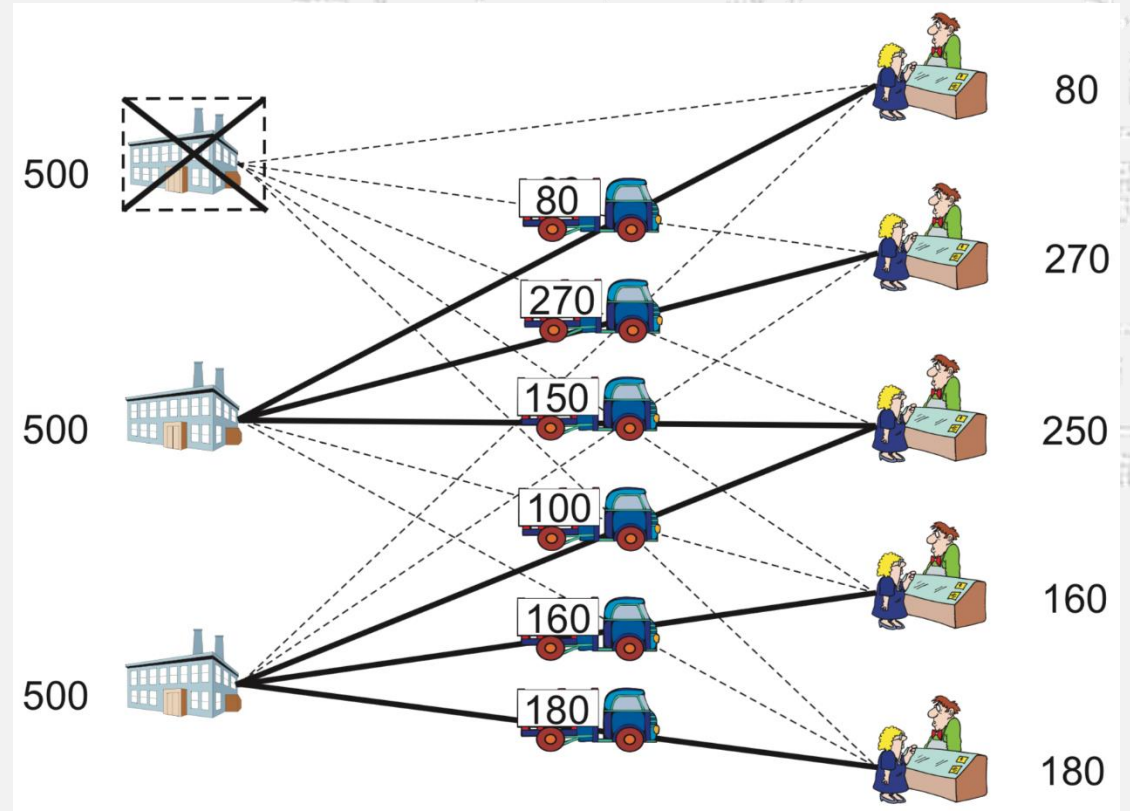
挑战

- P1问题是一个NP-hard问题
 - 证明方法：将NP-hard问题限量设备选址问题 (Capacitated Facility Location Problem, CFLP) 规约成P1问题

- P1问题是一个多变量优化问题

$$\mathcal{X} \triangleq \{x_{n,m} : n \in \mathcal{N}, m \in \mathcal{M}\}$$

$$\mathcal{Y} \triangleq \{y_{m,s} : m \in \mathcal{M}, s \in \mathcal{S}\}$$





LOCUS: User-Perceived Delay-Aware Service Placement and User Allocation in MEC Environment

算法设计

- 简化问题的LP求解
 - 固定变量Y, 转化为标准LP问题
 - 使用内点法可以在多项式时间内求解

$$\mathbb{P}_2(\mathcal{Y}) : \min_{\mathcal{X}} C^p + C^u + C^e$$

$$\text{s.t. } x_{n,m} \in [0, 1], \quad \forall n \in \mathcal{N}, \forall m \in \mathcal{M},$$

$$\sum_{m \in \mathcal{M}_n} x_{n,m} = 1, \quad \forall n \in \mathcal{N},$$

$$x_{n,m} \leq y_{m,s}, \quad \forall n \in \mathcal{N}_s,$$

$$\sum_{n \in \mathcal{N}_m} x_{n,m} l_n \leq L_m, \quad \forall m \in \mathcal{M},$$

$$D_{n,m}^c + D_{n,m}^t \leq d_n, \quad \forall n \in \mathcal{N}, \forall m \in \mathcal{M}.$$

Algorithm 1. LP Solver for $\mathbb{P}_2(\mathcal{Y})$

Input: Y

Output: \mathcal{X}

- 1 Solve problem $\mathbb{P}_2(\mathcal{Y})$ using interior point method in polynomial time;
- 2 Obtain the minimized total cost $w(Y)$;
- 3 Output optimal user-allocation decision \mathcal{X} ;



LOCUS: User-Perceived Delay-Aware Service Placement and User Allocation in MEC Environment

算法设计

- 简化问题的LP求解
 - 固定变量Y, 转化为标准LP问题
 - 使用内点法可以在多项式时间内求解
- 对含有变量Y问题求解
 - 初始化服务放置Y的决策
 - 使用多轮迭代局部搜索法求解近似最优解

Algorithm 2. Local-Search Operation *New*

Input: Set Y of placed services

Output: $bstNeighbor$, $cstReduce$

```

1  $bstNeighbor \leftarrow \emptyset$ ;
2  $cstReduce \leftarrow 0$ ;
3 for each  $(m, s) \in \{(m, s) : m \in \mathcal{M}, s \in \mathcal{S}\} - Y$  do
4   if  $w(Y) - w(Y \cup \{(m, s)\}) > cstReduce$  then
5      $bstNeighbor \leftarrow Y \cup \{(m, s)\}$ ;
6    $cstReduce \leftarrow w(Y) - w(bstNeighbor)$ ;
```

Algorithm 5. LOCUS for User-Perceived Delay-Aware Service Placement and User Allocation

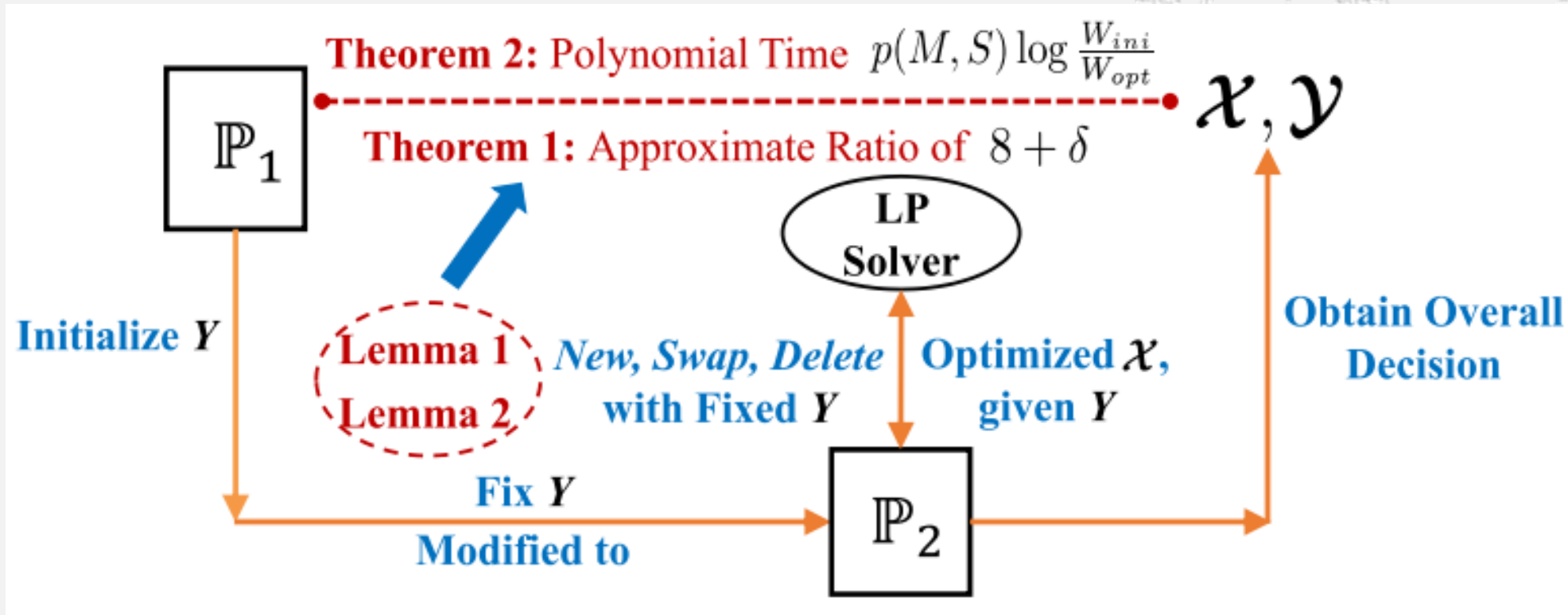
```

1 %Step 1:Initialize service placement decisions;
2  $Y = \emptyset$ ;
3 for each  $m \in M$  do
4   for each  $n \in \mathcal{N}_m$  do
5      $Y \leftarrow Y \cup \{(m, s_n^r)\}$ ;
6 %Step 2:Iterative local search for (near-)optimum;
7 repeat
8    $local\_success \leftarrow False$ ;
9    $(bstNeighbor, cstReduce) \leftarrow New(Y)$ ;
10  if  $cstReduce \geq w(Y)/p(M, S)$  then
11     $Y, local\_success \leftarrow bstNeighbor, True$ ;
12    Goto line 7;
13   $(bstNeighbor, cstReduce) \leftarrow Swap(Y)$ ;
14  if  $cstReduce \geq w(Y)/p(M, S)$  then
15     $Y, local\_success \leftarrow bstNeighbor, True$ ;
16    Goto line 7;
17   $(bstNeighbor, cstReduce) \leftarrow Delete(Y)$ ;
18  if  $cstReduce \geq w(Y)/p(M, S)$  then
19     $Y, local\_success \leftarrow bstNeighbor, True$ ;
20 until  $local\_success = False$ 
```



LOCUS: User-Perceived Delay-Aware Service Placement and User Allocation in MEC Environment

算法设计





LOCUS: User-Perceived Delay-Aware Service Placement and User Allocation in MEC Environment

- 从**限量设备选址问题 (Capacitated Facility Location Problem, CFLP)** 的相关近似算法证明中找到和本文匹配的引理
- 对已有的引理进行形式化推导, 得到算法优化目标值与OPT目标值比例的上下界

Lemma 1 ([44]). *If there is no (m, s) which is not in the current Y , such that*

$$w(Y) - w(Y \cup \{(m, s)\}) \geq w(Y)/p(M, S), \quad (15)$$

then

$$w_e(Y) < w(Y^*) + MSw(Y)/p(M, S), \quad (16)$$

Lemma 2 ([44]). *If there is no (m, s) in the current Y to perform the Swap or Delete operation so that the total cost is reduced by at least $w(Y)/p(M, S)$, then*

$$w_s(Y)\left(1 - \frac{(MS)^2}{p(M, S)}\right) < 5w(Y^*) + 2w_e(Y) + \frac{w(Y)}{MS}. \quad (17)$$

近似比证明过程

satisfied. Plugging (16) into (17), we get

$$w_s(Y)\left(1 - \frac{(MS)^2}{p(M, S)}\right) < 7w(Y^*) + \frac{2MSw(Y)}{p(M, S)} + \frac{w(Y)}{MS}. \quad (18)$$

Based on inequation (16), we can also get

$$w_e(Y)\left(1 - \frac{(MS)^2}{p(M, S)}\right) < w(Y^*) + \frac{MSw(Y)}{p(M, S)}. \quad (19)$$

Then we let inequation (18) plus (19), and we have

$$w(Y)\left(1 - \frac{(MS)^2}{p(M, S)}\right) \leq 8w(Y^*) + \frac{3MSw(Y)}{p(M, S)} + \frac{w(Y)}{MS}. \quad (20)$$

$$\frac{w(Y)}{w(Y^*)} < 8 \frac{1}{\left(1 - \frac{(MS)^2}{p(M, S)} - \frac{3MS}{p(M, S)} - \frac{1}{MS}\right)}. \quad (21)$$

$$\delta \geq 8 \left(\frac{1}{\left(1 - \frac{(MS)^2}{p(M, S)} - \frac{3MS}{p(M, S)} - \frac{1}{MS}\right)} - 1 \right), \quad (22)$$



LOCUS: User-Perceived Delay-Aware Service Placement and User Allocation in MEC Environment

算法时间复杂度证明过程

- 对局部搜索算法证明迭代轮数的上界

$$W_k - W_{k+1} \geq \frac{W_k}{p(M, S)}, \quad \forall k \in \{0, 1, 2, \dots, R-1\}. \quad (23)$$

$$\frac{W_k}{W_{k+1}} \geq \frac{1}{1 - \frac{1}{p(M, S)}}, \quad \forall k \in \{0, 1, 2, \dots, R-1\}. \quad (24)$$

$$\frac{W_{ini}}{W_{opt}} \geq \frac{W_0}{W_R} = \frac{W_0}{W_1} \cdot \frac{W_1}{W_2} \cdot \dots \cdot \frac{W_{R-1}}{W_R} \geq \left(\frac{1}{1 - \frac{1}{p(M, S)}} \right)^R. \quad (25)$$

$$\left(1 - \frac{1}{p(M, S)} \right)^{-p(M, S)} \geq e. \quad (26)$$

$$R \leq p(M, S) \log \frac{W_{ini}}{W_{opt}}. \quad (27)$$

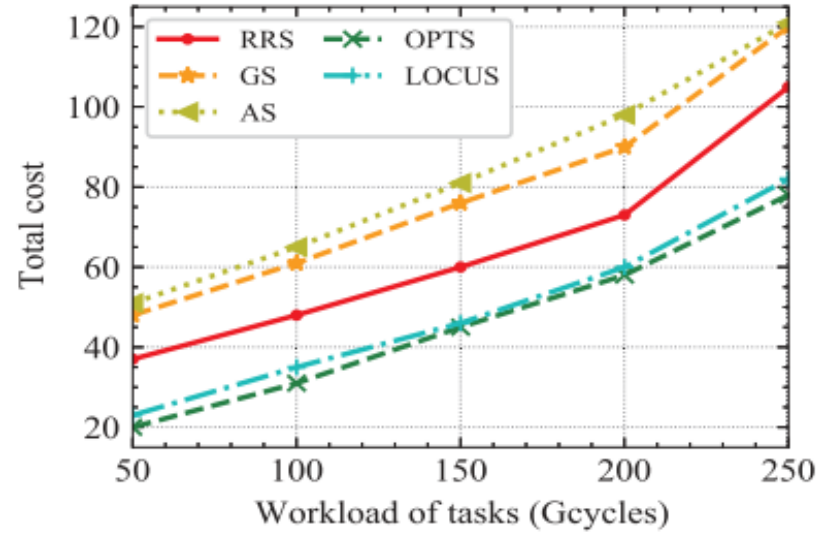


LOCUS: User-Perceived Delay-Aware Service Placement and User Allocation in MEC Environment

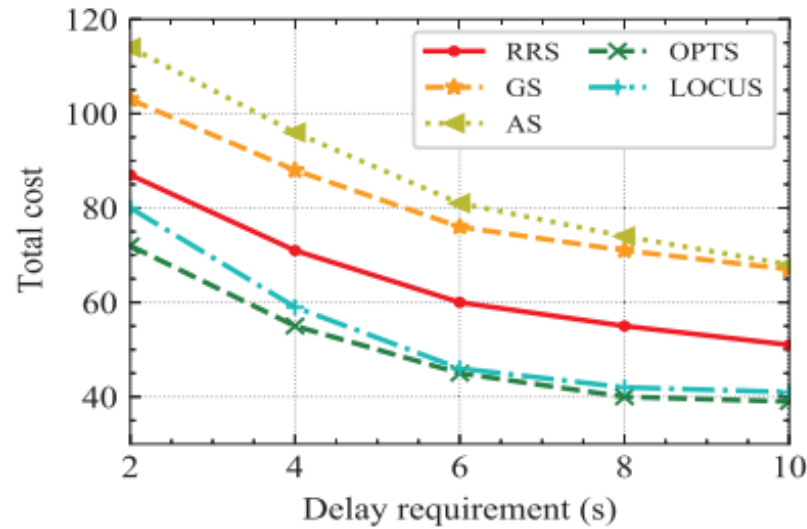
实验结果

- 对Total Cost的实验
 - 接近OPT, 优于baseline

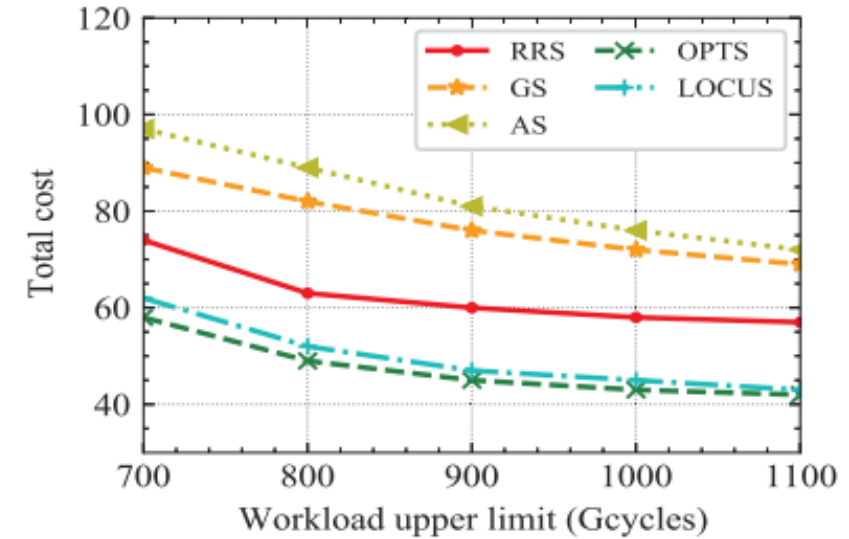
- RRS: Randomized Rounding Scheme
- GS: Greedy Scheme
- AS: All-service Scheme
- OPTS: MILP求解器得到的结果



(b) Workloads of Tasks



(c) Delay Requirements



(d) Workload Upper Limits



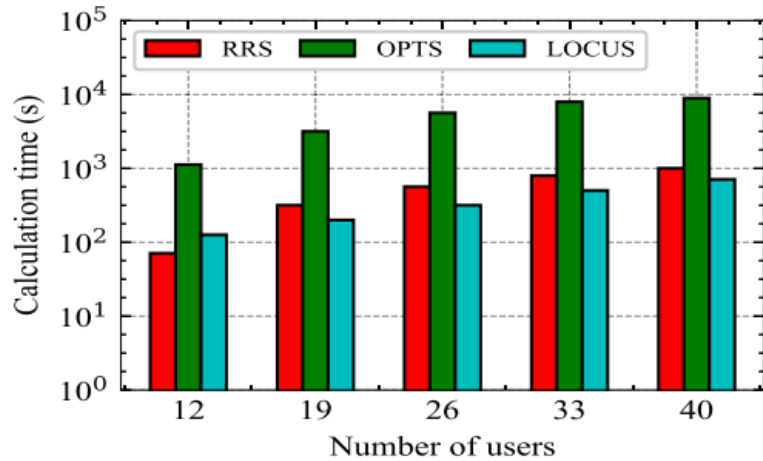
LOCUS: User-Perceived Delay-Aware Service Placement and User Allocation in MEC Environment

实验结果

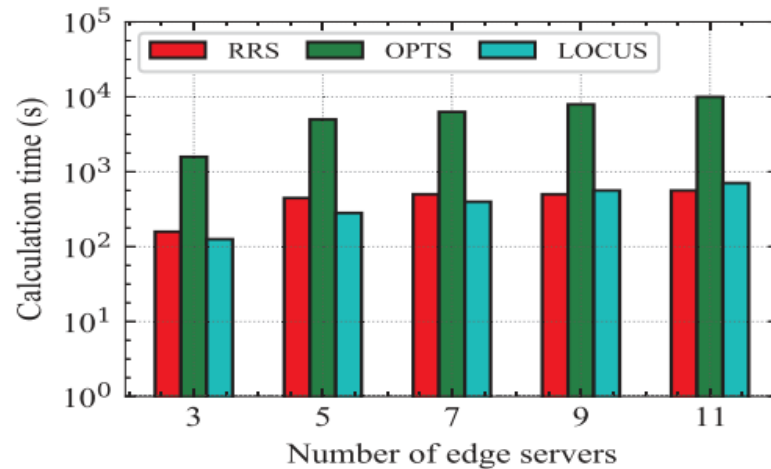
对计算时间的实验

- 明显短于使用求解器得到的OPT解

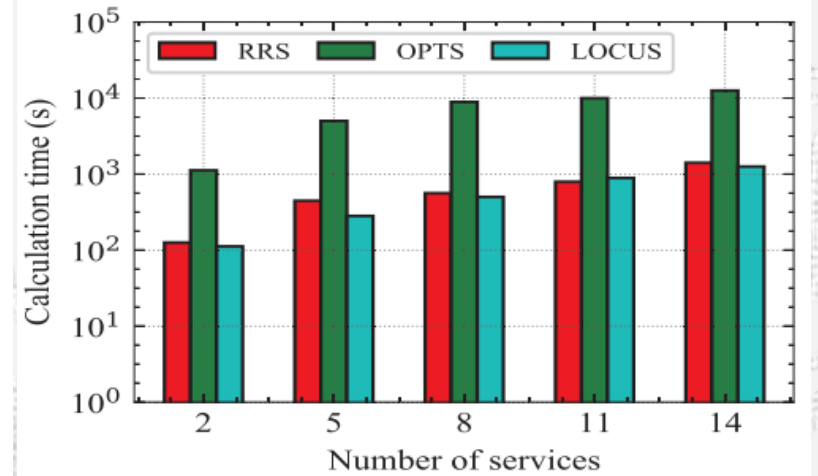
- RRS: Randomized Rounding Scheme
- OPTS: MILP求解器得到的结果



(a) Varying User Numbers



(b) Varying Server Numbers



(c) Varying Service Numbers



LOCUS: User-Perceived Delay-Aware Service Placement and User Allocation in MEC Environment

优势

- 基于复杂的离线分配场景进行建模，考虑了服务放置、任务分配、期望延迟等复杂因素
- 算法对提出的启发式算法具有较完备的理论证明，算法对性能的下界有保证

不足

- 本场景假设Task可以被无限拆分放置，但实际上任务通常具有最小的单位。
- 对比算法过于简单，没有和一些启发式算法或基于学习的算法进行比较。
- 本场景在调度开始前，所有任务都已到达且任务执行时间可以直接被获取。缺少对实际在线提交任务场景的考虑。



其他基于近似算法的调度算法

- (TOC' 22) Online Scheduling of Distributed Machine Learning Jobs for Incentivizing Sharing in Multi-Tenant Systems
 - 针对PS-worker架构下的分布式机器学习任务在线调度场景建模
 - 将在线场景划分为很多个离线调度time-slot, 每个time-slot应用近似算法
 - 提供激励机制鼓励用户将手头剩余的资源出租, 同时在资源不足时租用其他用户的资源
 - 提供了理想资源共享特性 (e.g. 帕累托效率) 的证明, 提供了近似比保证和复杂度分析
- (TPDS' 22) Mechanisms for Resource Allocation and Pricing in Mobile Edge Computing Systems
 - 场景: 用户为资源提供竞价, 调度器根据用户的出价分配合适的资源, 目标是整个系统的收益最大
 - 基于混合整数线性规划 (MILP) 建模问题, 提出了满足Individually-rational和envy-free allocations机制的贪心算法
 - 提出了可证近似比的任务分配算法
- (TON '20) Provably Efficient Resource Allocation for Edge Service Entities Using Hermes
 - 场景: 终端用户卸载任务到边缘端, 边缘端服务器决策资源的伸缩, 目标是租用资源成本最低
 - 解决方法: 将问题转化为最小集合覆盖问题, 从最小集合覆盖问题中找解决算法和已知近似比



研究方向特点和成本

系统派

- 重视实验和落地实现
- 现实场景中任务在资源上的执行通常是复杂多变的，任务执行时间、执行结果、到达时间、资源需求通常不可知，算法复杂且需要大量知识
- 通过大规模实验验证有效性，容易忽视理论证明
- **主要研究成本**：系统实现和大规模实验

强化学习派

- 兼顾系统和理论
- 通常需要利用大规模数据集进行多轮次的训练
- 需要长时间的调参
- 复杂的模型导致算法相比其他两派具有更长的决策时间
- **主要研究成本**：训练和调参

理论派

- 重视理论证明
- 通过近似比、时间复杂度、博弈论或调度论中的性质证明来说明有效性
- 理论证明难度限制了算法的复杂程度
- 实验简单，但大概率比不过其他两派的算法结果
- **主要研究成本**：理论证明



针对AI任务弹性调度研究 未来方向想法

系统派

- 可以借鉴READYs, 对深度学习任务提取DAG图, 借鉴深度学习框架做调度优化?
- 可以针对实际调度系统中的痛点做优化?
 - 对深度学习任务在不同计算资源上实际执行时间/实际执行资源的预测?
 - 对大型集群中的未来工作负载变化做预测?
 - 直接优化针对AI任务的集群调度器?

强化学习派

- 可以针对强化学习调度的痛点去做优化?
 - 智能体推断时间缩减
 - 智能体训练成本缩减
- 可以针对调度场景设计专用强化学习算法?

理论派

- 可以将问题建模成经典问题, 将前人在经典问题的研究成果迁移到新型调度场景中?
- 将博弈论、激励机制等方法引入场景中, 提出近似算法并证明近似比?



中山大學
SUN YAT-SEN UNIVERSITY

敬請批評指正

匯報人：肖霖暢